

四川省 2025 年普通高中学业水平选择性考试

地理

注意事项:

1. 考生领到答题卡后, 须在规定区域填写本人的姓名、准考证号和座位号, 并在答题卡背面用 2B 铅笔填涂座位号。
2. 考生回答选择题时, 选出每小题答案后, 须用 2B 铅笔将答题卡上对应题目的答案标号涂黑, 如需改动, 用橡皮擦干净后, 再选涂其他答案标号。考生回答非选择题时, 须用 0.5mm 黑色字迹签字笔将答案写在答题卡上。选择题和非选择题的答案写在试卷或草稿纸上无效。
3. 考生不得将试卷、答题卡和草稿纸带离考场, 考试结束后由监考员统一回收。

一、单项选择题: 本题共 16 小题, 每小题 3 分, 共 48 分。在每小题给出的四个选项中, 只有一项是最符合题目要求的。

发展较成熟、规模和结构相对稳定的大都市区, 空间上通常表现出较明显的圈层结构。图 1 示意 1960~2010 年某大都市区核心圈层 (距老城中心 5 千米范围内) 的人口密度变化。据此完成 1~2 题。

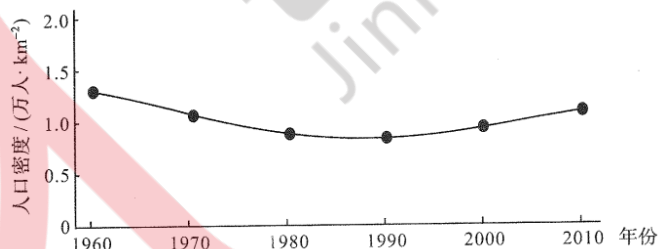


图 1

1. 该大都市区核心圈层人口
 - 持续向外扩散
 - 先扩散再集聚
 - 先集聚再扩散
 - 持续向内集聚
2. 该大都市区最可能位于
 - 亚洲南部
 - 欧洲西部
 - 美洲中部
 - 非洲东部

信息传输、软件与信息技术服务业属于数字经济核心产业。2000~2020年,杭州市的数字经济企业由0.27万个增长至14.24万个,是长三角数字经济增长极之一。数字经济企业核心集聚区2011年前为西湖区,2011~2015年为西湖区、滨江区,2015年后为滨江区、西湖区和余杭区。图2为2014~2020年杭州市服务业产值构成。据此完成3~4题。

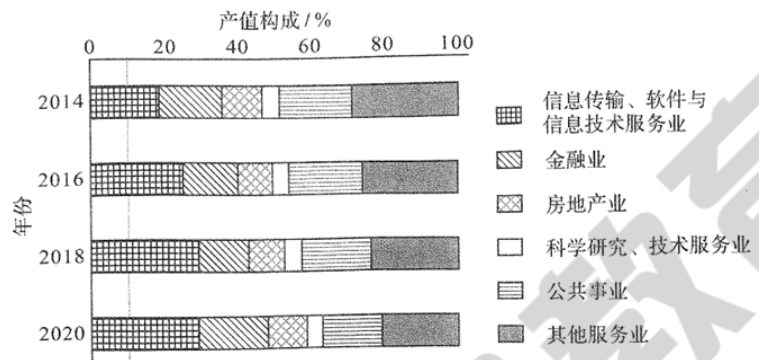


图2

3. 2014~2020年,随着数字经济的发展,杭州市服务业中
- A. 房地产业产值减少
 - B. 科学研究、技术服务业产值减少
 - C. 金融业产值占比降低
 - D. 其他服务业产值占比降低
4. 2000~2020年,杭州市数字经济
- ①人才净流出
 - ②企业核心集聚区不断收缩
 - ③人才净流入
 - ④企业核心集聚区不断扩张
- A. ①②
 - B. ②③
 - C. ③④
 - D. ①④

大遗址是占地广、级别高、影响力强的文化遗址。大遗址区包含大遗址及其联系密切的周边环境。大遗址区中,农业商品化片区生产的农产品主要服务于大遗址区旅游。图3示意关中地区甲、乙大遗址区的空间功能分区。据此完成5~7题。

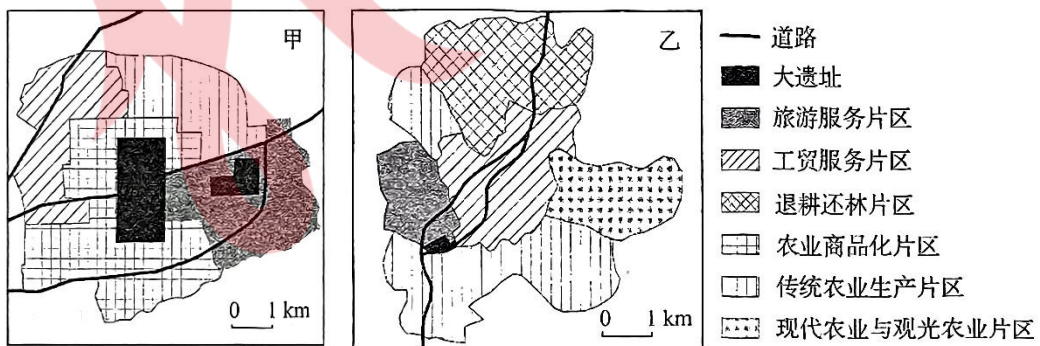


图3

5. 图中大遗址的主要功能是提供

- ①农副产品 ②工业产品 ③游憩产品 ④精神财富
A. ①② B. ②③ C. ③④ D. ①④

6. 甲、乙大遗址区功能分区布局的差异反映出

- ①甲大遗址区的地形较乙平坦 ②甲大遗址的旅游带动力较乙大
③乙大遗址区的地形较甲平坦 ④乙大遗址的旅游带动力较甲大
A. ①② B. ②③ C. ③④ D. ①④

7. 为更好保护甲中面积较大的大遗址, 未来可采取的措施是

- A. 南侧发展仓储物流 B. 北侧扩张工贸服务
C. 东侧控制旅游用地 D. 西侧建设住宅小区

中吉乌铁路东起我国新疆喀什, 途经吉尔吉斯斯坦, 西至乌兹别克斯坦安集延。该铁路建成后, 将成为我国经中亚联系波斯湾、地中海地区便捷的陆上通道。图 4 示意图中吉乌铁路选线方案。据此完成 8~10 题。

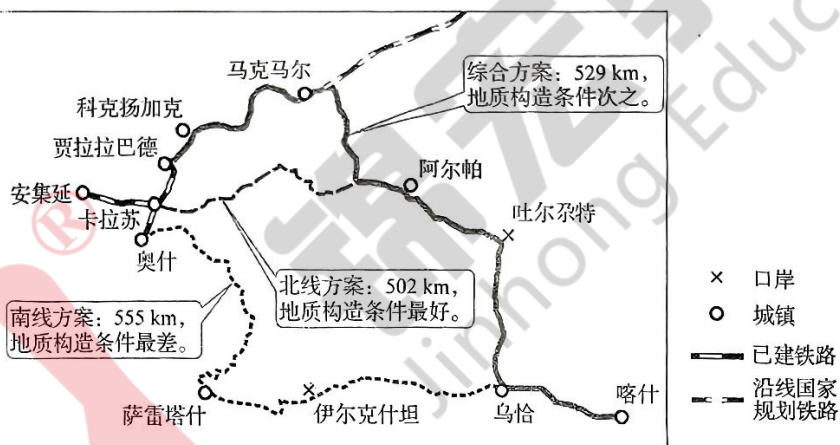


图 4

8. 该铁路选线最终确定为综合方案, 优先考虑的因素是

- ①铁路线路长度 ②途经城镇数量
③衔接规划铁路 ④地质构造条件
A. ①② B. ②③ C. ③④ D. ①④

9. 我国通过该铁路向吉、乌两国出口的主要商品最可能是

- A. 工业制成品 B. 棉花
C. 金属矿产品 D. 牛羊肉

10. 该铁路建成后, 对我国能源安全保障的作用体现在

- A. 降低化石能源消费量占比 B. 降低海运中东石油运价
C. 促进能源生产结构多元化 D. 开辟新的能源进口通道

图 5 为非洲南部某地遥感影像。影像所在地为 25°S，年降水量约 650 毫米。影像中河流正值枯水期，河流以西为克鲁格国家公园。公园南北长达数百千米，野生动物可自由迁徙。据此完成 11~13 题。

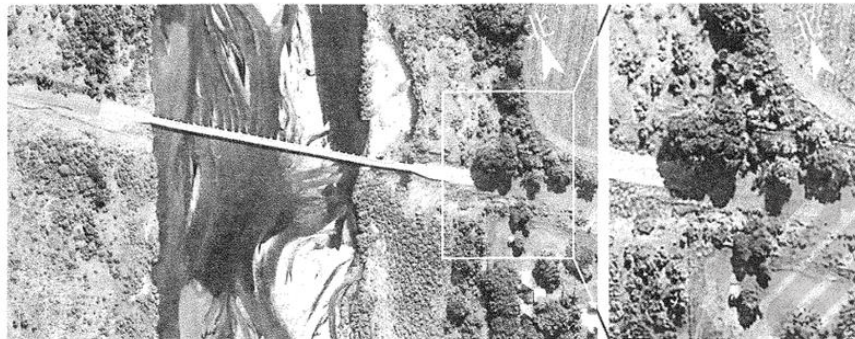


图 5

11. 影像所在地的自然地带是
- A. 热带雨林带 B. 亚热带常绿硬叶林带
C. 热带草原带 D. 亚热带常绿阔叶林带
12. 结合局部放大图中的树影方向，推测该影像可能拍摄于当地时间
- A. 5月25日上午 B. 5月25日下午
C. 11月25日上午 D. 11月25日下午
13. 影像所在地能看到更多野生动物的时段是
- A. 2~3月 B. 4~5月 C. 6~7月 D. 8~9月

青藏高原黄河源区季节性冻土和多年冻土分布广泛，多年冻土由季节性融化的活动层和多年冻结的永冻层组成。随着气候变暖，黄河源区冻土退化。1987~2017年，黄河源区某地的河道迁移率（单位时间河道迁移距离）在季节性冻土区降低、多年冻土区增加。图 6 为该地季节性冻土区、多年冻土区 1987 年和 2017 年土壤含冰量、河流流量年内变化。据此完成 14~16 题。

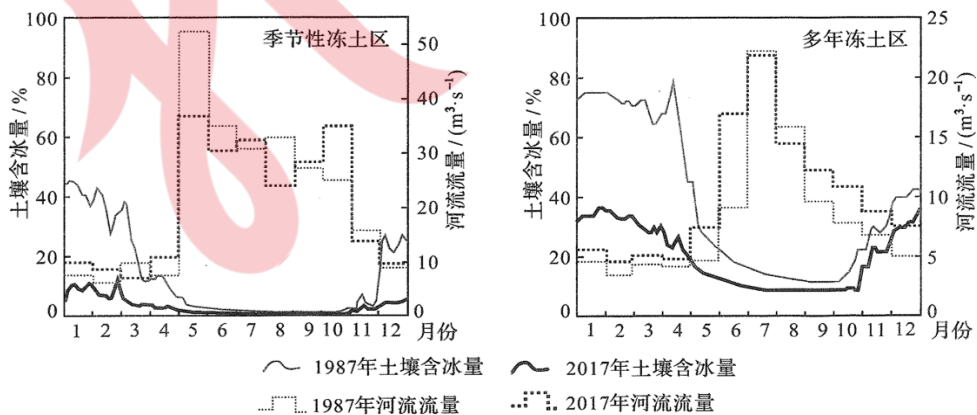


图 6

14. 与 1987 年相比, 2017 年该地
- 季节性冻土区土壤含冰量全年均减小
 - 季节性冻土区土壤含冰量降幅在丰水期更大
 - 多年冻土区土壤含冰量降幅在枯水期更大
 - 多年冻土区活动层冻结的时间提前
15. 该地多年冻土区河道迁移率增加的主要原因是
- 河流含沙量下降
 - 河岸抗蚀能力减弱
 - 河床高度降低
 - 流量季节变化减小
16. 该地冻土区河道迁移率变化导致
- 季节性冻土区河流流量减小
 - 季节性冻土区河流裁弯取直频率增大
 - 多年冻土区河流流量增加
 - 多年冻土区河流裁弯取直频率增大

二、非选择题：本题共 3 小题，共 52 分。

17. 阅读材料，完成下列问题。（14 分）

内蒙古东部牧区地处农牧交错带。近年来，当地出现“牲畜跨区转场越冬”现象：10 月中旬至 11 月中旬，牧民将牲畜运输到数百千米外的大兴安岭以东农区，利用农田秸秆和杂草越冬，次年 2 月末至 3 月中旬返回。表 1 为 2018 年内蒙古东部牧区不同越冬方式比较。

表 1

越冬方式	当地越冬	跨区转场越冬
越冬地	内蒙古兴安盟科右前旗	吉林白城市镇赉县
成本构成	草料、饲料	运输和装卸、农地使用、劳动力和生活等
成本（元 / 羊单位）	240~340	151~167

(1) 从气候角度，说明该区域出现“牲畜跨区转场越冬”现象的原因。（8 分）

(2) 指出“牲畜跨区转场越冬”对农区的有利影响。（6 分）

18. 阅读图文材料，完成下列问题。（16 分）

10 月为我国台湾岛东部沿海地区水稻抽穗开花期。2007 年 10 月 6 日 15 时 30 分，台风“罗莎”登陆台湾岛，七级风圈半径约 430 千米。6 日 14 时，中央山以东的东部沿海局地气温升至 36°C 以上，湿度下降；16 时，气温升至 39°C；18 时，仍高达 35°C。同期，台湾岛西部沿海大部分地区气温稳定在 24~26°C。图 7 示意台湾岛地形和该台风的移动路径。

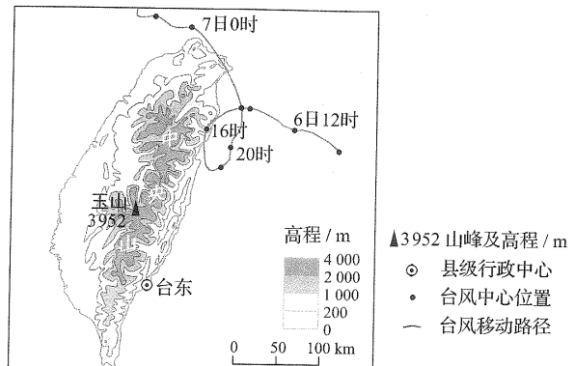


图 7

- (1) 估算台东距 2007 年 10 月 6 日 16 时台风中心的距离，并判断台东的风向。(4 分)
- (2) 从地形角度，分析此次台风造成台湾岛东部沿海地区高温低湿现象的成因。(8 分)
- (3) 说明此次台风对台湾岛东部沿海地区水稻产量的影响及原因。(4 分)

19. 阅读材料，完成下列要求。(15 分)

澜沧江发源于我国青藏高原，出境后称湄公河。湄公河是东南亚最长的河流，流经柬埔寨和越南所在的三角洲后注入南海。湄公河河口附近地区地势低平，河湖众多，盛产水稻、热带水果等，人口稠密。经过 19 世纪末以来的大规模开发，人工河渠发达、农田成倍增长，海岸、河堤侵蚀严重。图 8 示意湄公河河口附近地区水系，图 9 示意 1998~2008 年乙地河床的侵蚀、堆积状况。

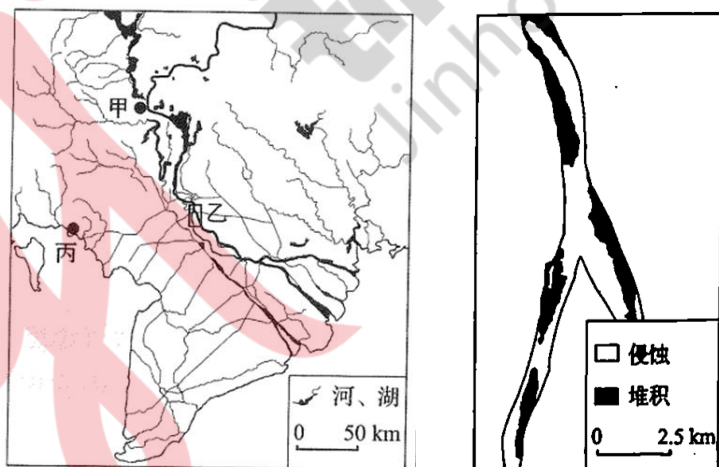


图 8

图 9

- (1) 指出影响湄公河河口年、月、日等泥沙沉积周期的主要因素。(6 分)
- (2) 说明 1998~2008 年乙地泥沙沉积厚度从河床到最高洪水位之间的差异。(4 分)
- (3) 分析极端旱涝对该三角洲泥沙沉积的影响。(8 分)
- (4) 若从甲地向丙地开挖出海运河，推测该运河内沉积泥沙的来源。(4 分)